

# تخمین مقدار تنش قائم با استفاده از اطلاعات لاغ‌های گرافیکی و پتروفیزیکی چاه در میدان نفتی منصوری و ارائه یک رابطه تجربی برای تخمین تنش افقی

## پژوهش نفت

سال بیست و دوم

شماره ۷۰

صفحه ۱۱۶-۱۰۱، ۱۳۹۱

تاریخ دریافت مقاله: ۸۹/۹/۷

تاریخ پذیرش مقاله: ۹۰/۱۰/۳

حمیدرضا زاهدی‌فرد\*

دانشگاه آزاد اسلامی واحد علوم و تحقیقات، گروه مهندسی معدن،

hamidreza.zahedifard@gmail.com

تنش به دست آمده از آنها در مقایسه با یکدیگر تغییرات کمی دارد و مقدار متوسط آن می‌تواند به عنوان مرجع محاسبه تنش قائم در این میدان مورد استفاده قرار گیرد.

**واژه‌های کلیدی:** تنش قائم، لاغ‌های پتروفیزیکی، لاغ‌های گرافیکی، گرادیان تنش، میدان نفتی منصوری

## چکیده

مقدار تنش‌های اصلی درجا در یک چاه، بدون شک از اصلی‌ترین عواملی است که بر پایداری آن مؤثر است. عموماً در مناطقی که از لحاظ تکتونیکی وضعیت عادی دارند، تنش‌های اصلی غالباً شامل دو مؤلفه افقی و یک مؤلفه قائم هستند. در این تحقیق، تنش‌های درجا با استفاده از فرضیات و روابط موجود در چهار حلقه از چاه‌های میدان نفتی منصوری در جنوب غربی ایران محاسبه گردید. از آنجاکه مؤثرترین پارامتر در این فرآیند، چگالی سازند است، سازند قرار گرفته در مقطع چاه به سه زون دارای لاغ چگالی، بدون لاغ چگالی و دارای لاغ گرافیکی و بدون لاغ تقسیم شده و با استفاده از لاغ‌های مذکور در چاه‌های شماره ۱، ۴۸، ۴۷ و ۵۶ این میدان، مقدار چگالی سازند تخمین زده شده است. سپس با محاسبه تنش قائم در عمق نهایی این چاه‌ها، گرادیان تنش قائم بدست آمده و رابطه‌ای نیز با استفاده از روش‌های تئوریک موجود بهمنظور برآورد مقدار تنش افقی ارائه گردیده است. نتیجه محاسبات نشان داد با وجود اینکه چاه‌ها از پراکندگی نسبتاً مناسبی در محدوده میدان برخوردار هستند، گرادیان

## مقدمه

معمول‌ترین روش برای برآورد تنش‌های قائم در مناطقی که از لحاظ تکتونیکی وضعیت عادی دارند، محاسبه وزن سنگ طبقات فوقانی است که معمولاً با دقت قابل قبولی با تنش اصلی حداقل برابر است. روش‌های غیر مستقیم و روابط تجربی متعددی به منظور برآورد میزان تنش‌های درجای افقی وجود دارند، اما تنها استفاده از اطلاعات آزمون‌های شکستگی می‌تواند اطلاعات صحیحی را در این زمینه ارائه نماید. با درنظر گرفتن این فرض که سطوح بالایی لایه‌های تشکیل‌دهنده یک سازند رسوبی حالت صفحه‌ای داشته و امتدادی تقریباً افقی دارد، می‌توان

- نمونه‌های سنگی
- توصیفات لیتولوژیکی
- ج) مقدار تنش اصلی حداقل:
- آزمایش‌های شکستگی ریز<sup>۵</sup> و شکستگی کوچک<sup>۶</sup>
- آزمایش نشت هیدرولیکی<sup>۷</sup>
- آزمایش شکست هیدرولیکی<sup>۸</sup>
- د) مقدار تنش اصلی حداکثر:
- شبیه‌سازی ناپایداری چاه
- روابط ریاضی و تجربی موجود
- تکنیک‌های تعادل

در این میان، کنترل شکستگی‌های برشی احتمالی در دیواره چاه، روش ساده و بسیار کارآمدی در تشخیص جهت تنش افقی حداقل در چاه است. مطالعات تفصیلی به‌منظور تعیین جهت تنش‌های افقی اصلی با این روش در میدان چشمۀ خوش در ایران انجام گرفته است [۴].

#### محاسبه تنش قائم

تنش قائم در یک عمق دلخواه از چاه برابر با وزن روباره‌ای<sup>۹</sup> است که بالای آن قرار گرفته است. بنابراین با جمع تنش‌های حاصل از وزن المان‌های بسیار نازک از مواد تشکیل‌دهنده بخش‌های بالایی چاه، می‌توان تنش قائم را طبق رابطه ۱ به دست آورد:

$$\sigma_v = \int_0^z \rho(z) g dz \approx \rho_{ave} g z \quad (1)$$

با توجه به هزینه بالایی که استفاده از ابزار چاه‌پیمایی به‌همراه دارد، معمولاً برداشت اطلاعات در محدوده سازند حاوی هیدروکربن انجام می‌گیرد. درنتیجه به‌طور معمول در همه چاه‌ها، مناطقی در بخش‌های بالایی وجود دارد که عمیات ثبت لاغ‌ها در آن صورت نگرفته است. چگالی سازندهای این بخش از چاه را می‌توان با درون‌یابی خطی داده‌هایی به دست آمده از لاغ‌های چاه در ۴۰۰ تا ۱۰۰۰ متر بالایی، تخمین زد [۵]. این تکنیک در شرایطی که سنگ‌های تشکیل‌دهنده فواصل بدون لاغ با سنگ‌های

گفت در یک مجموعه از سازندهای رسوبی، جهت مؤلفه‌های اصلی تنش‌های درجا در امتدادهای عمودی و افقی خواهد بود. مسلمًاً موارد متعددی وجود دارند مانند مناطق همچوار زون‌های گسله که باعث منحرف شدن تنش‌ها می‌شوند، اطراف گنبدهای نمکی و یا نواحی روراندگی<sup>۱</sup> که در آنها مؤلفه تنش عمودی وجود ندارد- که فرض عنوان شده را نمی‌توان در خصوص آنها به کار برد. تحلیل پایداری چاه، نیازمند آگاهی از جهت و مقدار سه مؤلفه اصلی تنش است که شش پارامتر مجهول را پیش روی ما قرار می‌دهد [۱]. طبق تعریف، یکی از مؤلفه‌های تنش، عمودی فرض می‌گردد و با توجه به اینکه تنش‌های اصلی افقی، عمود بر یکدیگر هستند، تعداد پارامترهای مجهول در فرآیند تخمین تنش‌های درجا به چهار پارامتر یعنی جهت یکی از تنش‌های اصلی افقی و مقدار تنش‌های اصلی سه‌گانه کاهش می‌یابد که با توجه به اطلاعات به دست‌آمده از چاه‌های نزدیک یا در ارتباط با چاه مورد مطالعه و اطلاعات حفاری قابل اندازه‌گیری هستند. اندازه‌گیری تنش‌های درجا در نقاط مختلف جهان نشان می‌دهد که نسبت تنش اصلی متوسط (که در شرایط تکتونیکی آرام و عادی معادل تنش اصلی افقی حداقل است) به تنش عمودی، در عمق حدود ۳ کیلومتری بین ۰/۵ تا ۲/۲۵ است. دامنه تغییرات این نسبت با نزدیک شدن به سطح زمین، وسیع‌تر شده و به ۰/۳ تا ۷ می‌رسد [۲]. روش‌های غیر مستقیم متعددی به‌منظور برآورد جهت و میزان تنش‌های درجا مورد استفاده قرار گرفته‌اند، اما تنها استفاده از اطلاعات آزمون‌های شکستگی می‌تواند اطلاعات صحیحی را در این زمینه ارائه نماید. منابعی که اطلاعات لازم به‌منظور تخمین جهت و مقدار تنش‌های اصلی در چاه را می‌توان از آنها به دست آورد، به‌شرح زیر هستند [۳]:

الف) جهت و امتداد تنش‌های افقی حداقل وحداکثر:

- لاغ‌های تصویری<sup>۲</sup> چاه (جهت شکستگی‌ها)

- شبیه‌سنج‌های چند بازو<sup>۳</sup> به منظور مشخص کردن جهت شکستگی‌های برشی

ب) مقدار تنش عمودی:

- لاغ‌های چگالی

1. Over Thrust  
2. Image Logs  
3. Multiarm Dipmeters  
4. Micro Fracture Test  
5. Mini Fracture Test  
6. Leak Off Test  
7. Hydraulic Fracturing  
8. Over Burden

چنانچه منطقه مورد مطالعه از نظر تکتونیکی فعال باشد، باید مؤلفه تکتونیکی را نیز در نظر گرفت. با این فرض

رابطه ۵ به صورت زیر بازنویسی می شود [۱]:

$$\sigma_h = \frac{v}{1-v} (\sigma_v - \alpha P_p) + \alpha P_p + S_{tect} \quad (6)$$

آگاهی از این مؤلفه از طریق مقایسه میان مقادیر محاسبه شده برای تنش افقی اصلی حداقل با مقادیر به دست آمده از تست های میدانی، امکان پذیر است.

### داده های مورد بررسی

میدان منصوری در فروافتادگی دزفول در جنوب غربی ایران در شصت کیلومتری جنوب شرق اهواز در استان خوزستان قرار گرفته است. این میدان از سمت شمال غرب به میدان اهواز محدود شده و از سمت غرب در مجاورت میدان آب تیمور و از شمال شرق در مجاورت میدان شادگان قرار دارد. ابعاد این میدان،  $41/9$  کیلومتر در  $5/9$  کیلومتر است و مانند سایر میدان های قرار گرفته در فروافتادگی دزفول، در امتداد شمال غرب به جنوب شرق کشیده شده است. از نظر چینه شناسی سازند های پابده، آغازاری، میشان، گچساران و آسماری در آن دیده شده و ترکیب سنگ های تشکیل دهنده آن نیز عمده شامل مارن قرمز، مارن خاکستری، ماسه سنگ، انیدریت، ژپس، سنگ آهک، شیل و سنگ نمک است. در این تحقیق، به منظور برآورده گردیدن تنش قائم، بررسی ها بر روی چاه های شماره  $1, 47, 48$  و  $56$  این میدان انجام گرفته است. شکل ۱ نحوه پراکندگی و موقعیت قرارگیری محل چاه های مورد مطالعه را نشان می دهد [۶].

به منظور محاسبه تنش قائم در چاه، لازم است چگالی سنگ های تشکیل دهنده سازند تا عمق مورد نظر مشخص شود. با توجه به کیفیت و کمیت اطلاعات موجود، به منظور برآورده چگالی سازند، طول چاه های مورد مطالعه به سه بخش تقسیم شده است:

الف) بخش اول که در آن لاغ های چگالی<sup>۱</sup> موجود بوده و جنس سنگ ها از روی لاغ گرافیکی<sup>۲</sup> چاه تعیین می شود.  
ب) بخش دوم که در آن لاغ های چگالی برداشت نشده، اما جنس سنگ ها از روی لاغ گرافیکی چاه تعیین می شود.

1. Poisson's Ratio

2.Density Log

3.Graphical Log

سازنده ای دارای آن مشابه باشد، دقت قابل قبولی دارد و کترول این شباهت با تحلیل خردده های حفاری انجام می شود. در صورت نیاز، چگالی این بخش ها را می توان با تحلیل اطلاعات لرزه ای نیز به دست آورد.

با استفاده از این روش، رابطه نمایی شماره  $2$  از مدل سازی تنش ها در محدوده دارای هیدروکربن به ضخامت  $m = 1000$  از یک چاه نفت در غرب ایران به دست آمده است [۱]:

$$\sigma_v = 0.0194 D^{1.0299} \quad (2)$$

چنانچه هیچ گونه لاغ مناسبی به منظور برآورده چگالی موجود نباشد، می توان از اطلاعات لیتوژئیکی و تحلیل خردده های حفاری استفاده کرد و در صورتی که فقط اطلاعات لیتوژئیکی موجود باشد، لازم است چگالی با توجه به مقادیر ارائه شده در مراجع مختلف، تخمین زده شود. در مواردی که هیچ گونه مرجع و یا اطلاعات مشخصی از چگالی سنگ های تشکیل دهنده لایه ها وجود ندارد، با توجه به اینکه بخش اعظم سنگ های رسوبی چگالی متوسطی در حدود  $2/3 \text{ gr/cm}^3$  دارند، می توان تخمین اولیه ای از تنش قائم را با گرادیان تنش  $23 \text{ MPa}$  به ازای هر کیلومتر به دست آورد [۵].

### محاسبه تنش های افقی

نسبت تنش های افقی به تنش اصلی قائم را عموماً با پارامتر  $K$  نمایش می دهند که طبق رابطه  $3$  تعریف می شود.

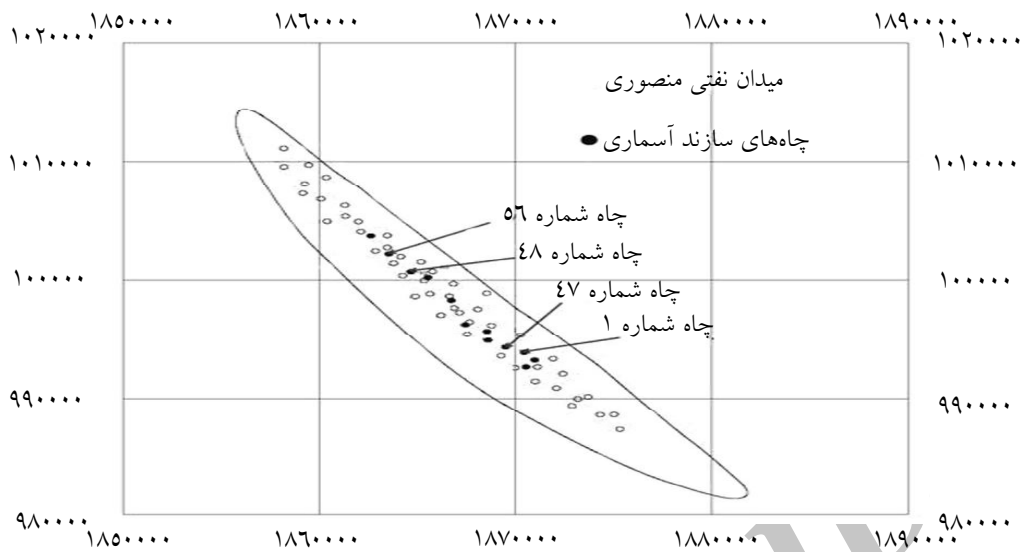
$$K = \frac{\sigma_{\text{Horizontal}}}{\sigma_{\text{Vertical}}} \quad (3)$$

در مناطقی از سنگ های رسوبی که از نظر زمین شناسی آرام و دست نخورده اند، بدین معنی که در طول زمان بدون تغییر شکل باقی مانده است و لایه ها به صورت افقی تشکیل شده اند، تنش های افقی حداقل و حداقل با هم مساوی هستند. در این حالت می توان این نسبت را مستقل از عمق به صورت زیر محاسبه نمود:

$$k = \frac{v}{1-v} \quad (4)$$

از آنجاکه ضریب پواسون<sup>۳</sup> سنگ، پارامتری بدون بعد است، در صورت استفاده از این رابطه، ارتباط میان تنش های افقی و قائم به صورت خطی خواهد بود. با در نظر گرفتن اثر فشار منفذی، برای تخمین تنش افقی رابطه  $5$  به دست می آید [۱] که در این تحقیق از آن استفاده شده است:

$$\sigma_h = \frac{v}{1-v} (\sigma_v - \alpha P_p) + \alpha P_p \quad (5)$$



شکل ۱- موقعیت قرارگیری محل چاهها در میدان نفتی منصوری [۶]

لاگ گرافیکی مقطع چاه مورد استفاده قرار گرفته است. در این لاگ‌ها، تصویر سطح مقطع چاه در جهت عمودی در فواصل ۵۰ متری- به جز بازه‌هایی که به دلیل کمبود اطلاعات و یا رسیدن به عمق نهایی چاه طول کمتری دارند- و در جهت افقی همان گونه که در شکل‌های ۳ تا ۲۰ دیده می‌شود به ۱۰ بخش- هر کدام نشان دهنده ۱۰٪ از ترکیب سنگ در عمق مورد نظر می‌باشد- تقسیم شده است. با درنظر گرفتن سطح اشغال شده توسط هر کدام از انواع سنگ تشکیل‌دهنده سازند به عنوان عامل وزن‌دهی، چگالی متوسط وزن‌دار در بازه‌های مشخص شده در مقطع چاه برای سازند بدست آمده است. با توجه به عدم وجود لاگ در چاه‌های ۴۷ و ۵۶ از سطح زمین تا عمق حدود ۱۲۰۰ متری، از نوع سنگ‌های تشکیل‌دهنده چاه اطلاعات دقیقی در دست نبوده و صرفاً بررسی گزارشات زمین‌شناسی میدان نشان داد که این محدوده عمق در هر سه چاه، در سازند آغازگاری قرار دارد [۶]. به منظور برآورده چگالی سازند در این بازه‌ها از لاگ گرافیکی چاه شماره ۱ استفاده شد. همان‌گونه که در جدول ۱ نیز دیده می‌شود، این چاه در بازه بدون داده در سایر چاه‌ها دارای لاگ گرافیکی بوده و گزارش‌های زمین‌شناسی مؤید این مطلب است که سازند احاطه‌کننده چاه از سطح زمین تا عمق ۱۳۱۰ متری، سازند آغازگاری است. در نتیجه، چگالی متوسطی برای سازند آغازگاری محاسبه و به عنوان مرجع محاسبه تنش قائم در سایر چاه‌ها مورد استفاده قرار گرفت.

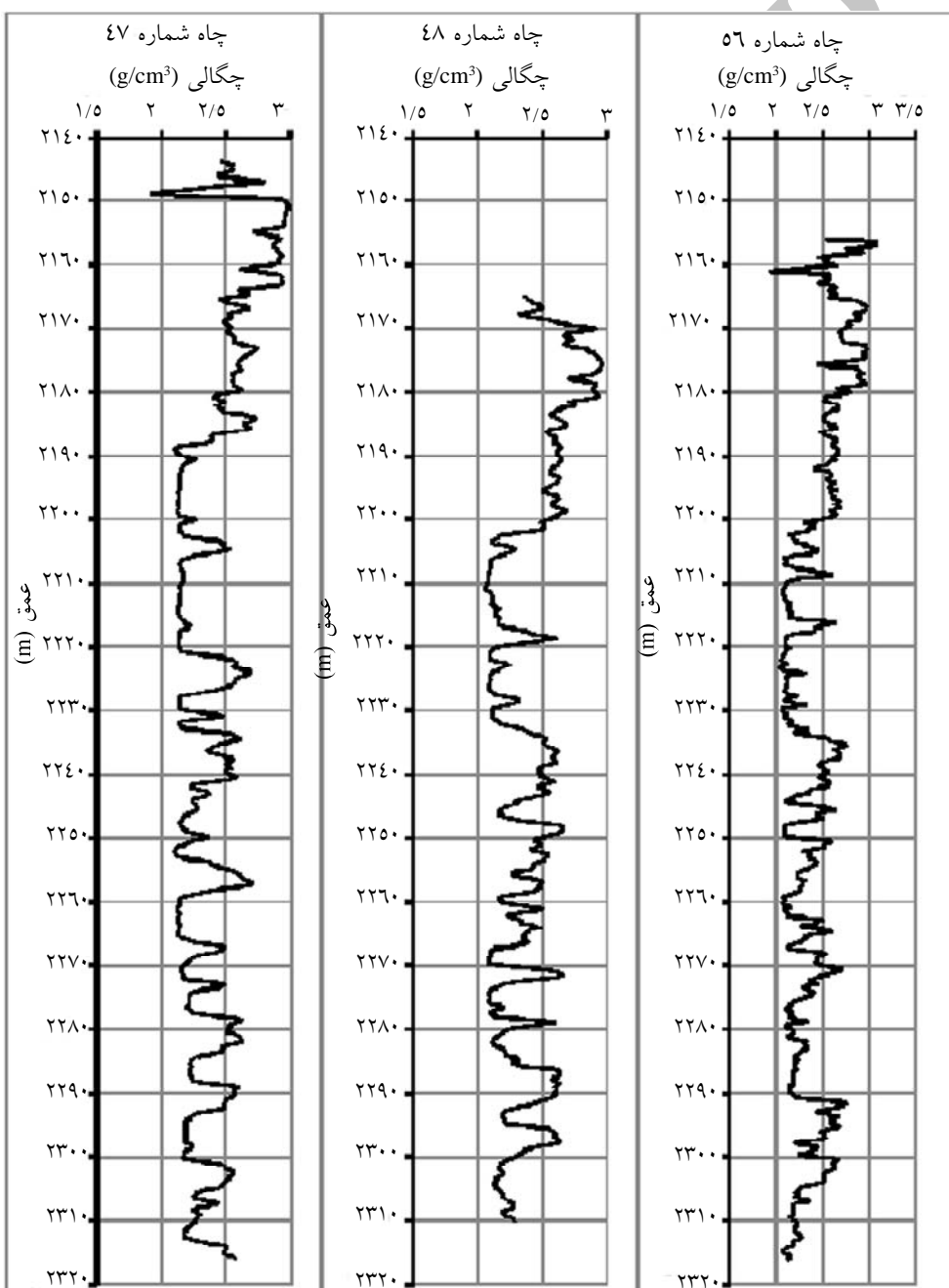
ج) بخش سوم که در آن لاگ‌های چگالی و لاگ‌های گرافیکی چاه موجود نیست.

جدول ۱ نشان‌دهنده محدوده عمق هر کدام از زون‌های فوق در چاه‌های مورد مطالعه و شکل ۲ نشان‌دهنده نحوه تغییر چگالی بر حسب عمق در بخش دارای لاگ چگالی است.

از آنجاکه در لاگ گرافیکی چاه‌ها، جنس هر نوع سنگ با رنگ و یا طرح خاصی مشخص شده است، به منظور تخمین چگالی هر نوع سنگ در بخش‌های بدون لاگ چگالی، عمق یا محدوده عمقی که همان نوع سنگ در محدوده دارای لاگ چگالی دیده شده با استفاده از لاگ گرافیکی مشخص گردیده و چگالی متناظر با آن که با استفاده از لاگ پتروفیزیکی چاه قرائت شده، به سنگ مورد نظر در زون‌های بدون لاگ چگالی نسبت داده شده است. با توجه به عدم وجود لاگ چگالی در چاه شماره ۱، از مقادیر موجود در لاگ چگالی چاه شماره ۴۷ واسطه نزدیک‌تر بودن استفاده شده است. در جدول ۲، چگالی محاسبه شده برای انواع مختلف سنگ به همراه مرجع محاسبه آنها ارائه شده است. شکل‌های ۳ تا ۲۰ نیز نشان‌دهنده بخشی از لاگ گرافیکی در محدوده‌های عمقی چاه‌ها است که به منظور تخمین چگالی سنگ‌ها مورد استفاده قرار گرفته و در جدول ۲ به آنها اشاره شده است. به منظور محاسبه چگالی در بخش‌های دوم و سوم، با توجه به عدم برداشت لاگ چگالی در این بخش‌ها،

جدول ۱- محدوده عمق بخش‌های مختلف چاه‌های مورد مطالعه در ارتباط با زون‌های چگالی بر حسب متر

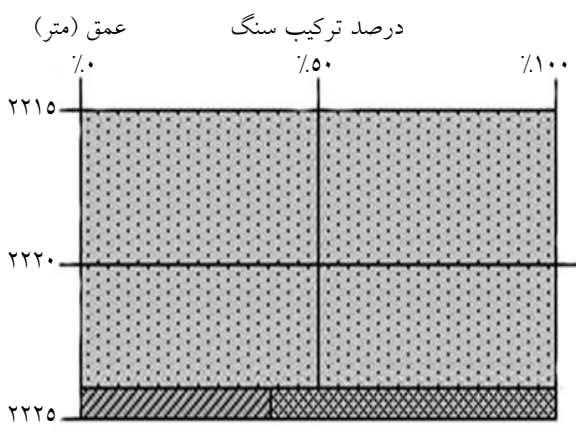
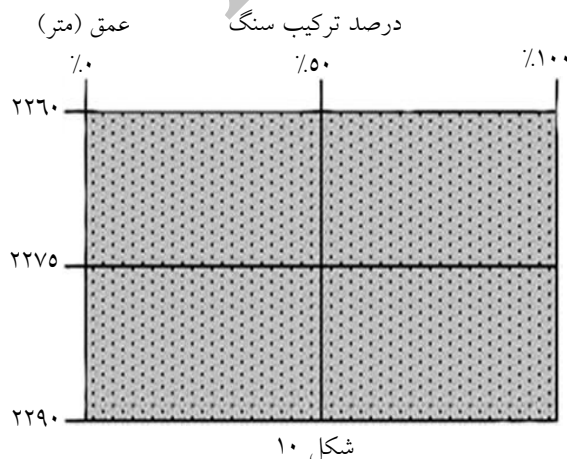
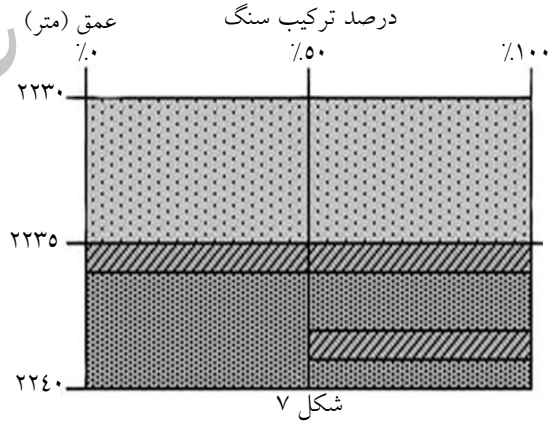
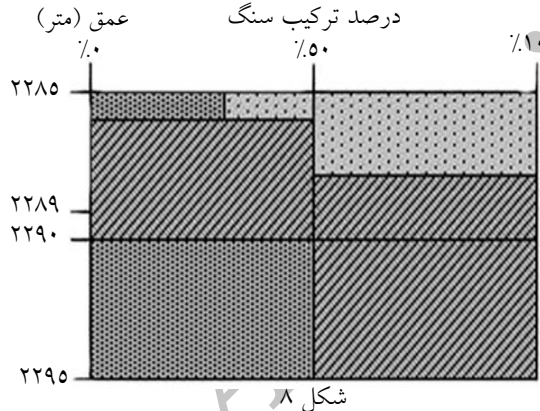
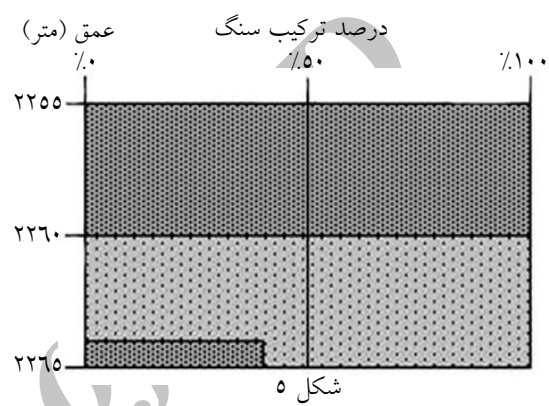
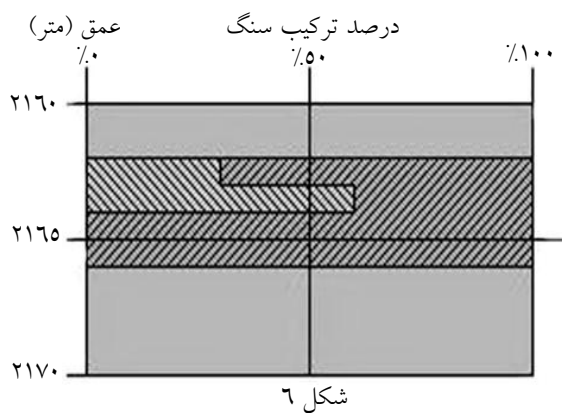
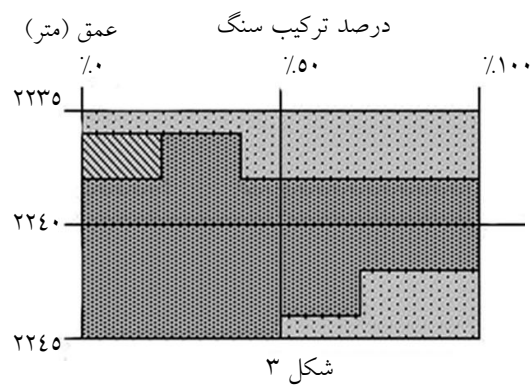
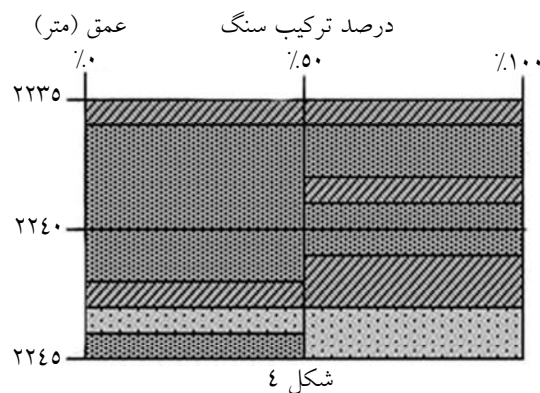
محدوده‌های عمق در ارتباط با زون‌های سه‌گانه تعریف شده						شماره چاه	طول چاه
محدوده بدون لاغ		محدوده دارای لاغ		محدوده دارای لاغ چگالی			
(m)	تا عمق (m)	(m)	تا عمق (m)	(m)	تا عمق (m)		
نadarد		۱۵۶۵	۰	نadarد		۱۵۶۵	۱
۱۱۶۰	۰	۲۱۴۳/۶	۱۱۶۰	۲۳۱۶	۲۱۴۳/۶	۲۳۱۶	۴۷
۱۰۰۰	۰	۲۱۶۵	۱۰۰۰	۲۳۱۰	۲۱۶۵	۲۳۱۰	۴۸
۱۱۰۰	۰	۲۱۵۶	۱۱۰۰	۲۳۱۶	۲۱۵۶	۲۳۱۶	۵۶



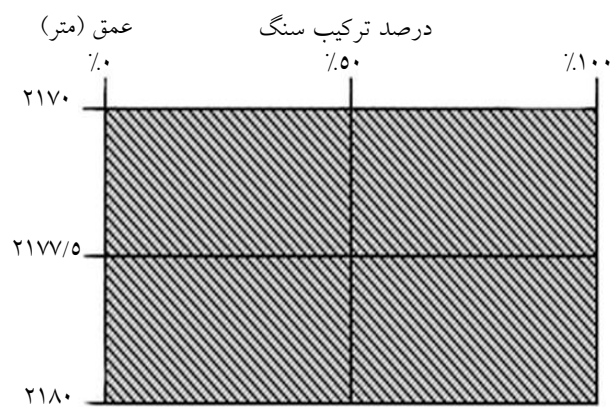
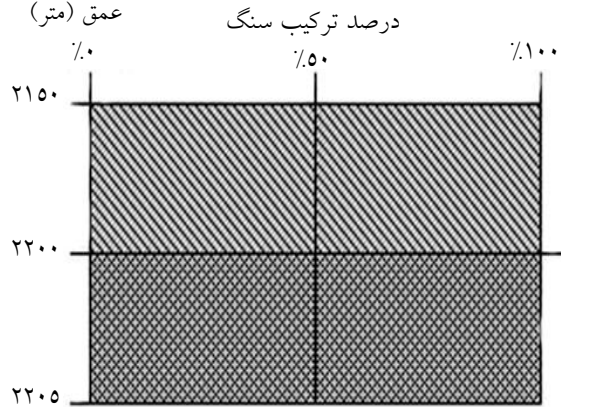
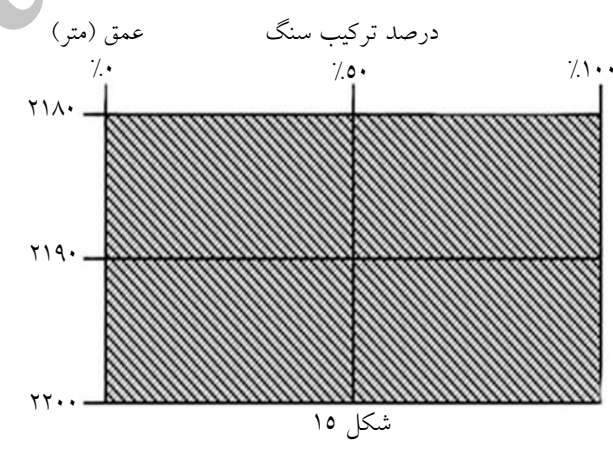
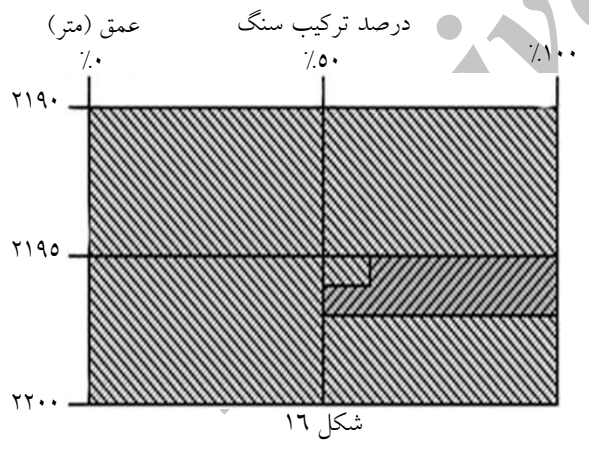
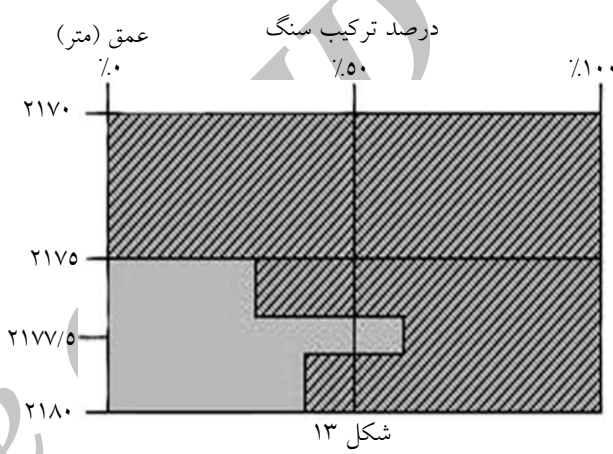
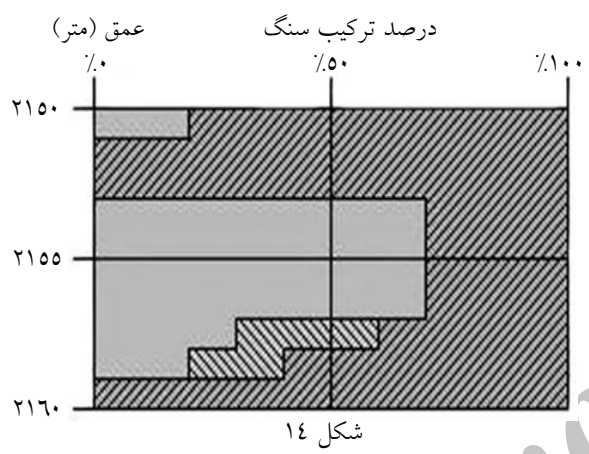
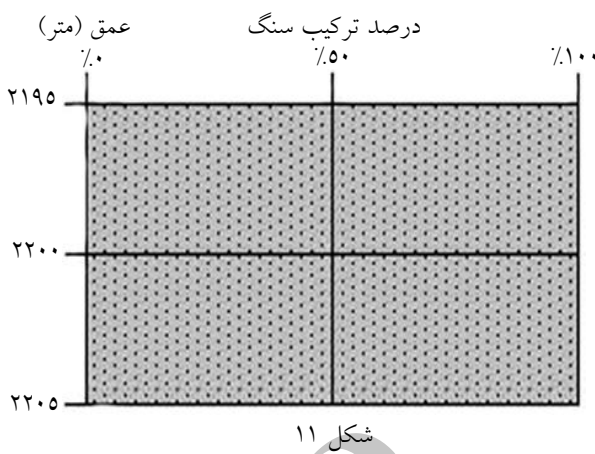
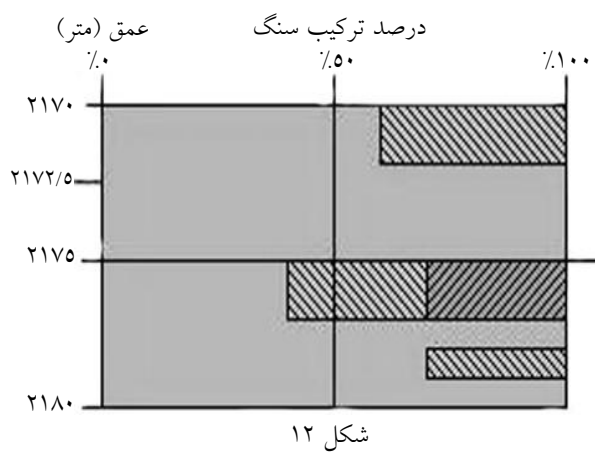
شکل ۲- نحوه تغییر چگالی در زون دارای هیدروکربن در چاه‌های مورد مطالعه بر حسب عمق

جدول ۲- مرجع تخمین چگالی سنگ‌ها از روی لاغ‌های گرافیکی با استفاده از داده‌های لاغ‌های چگالی

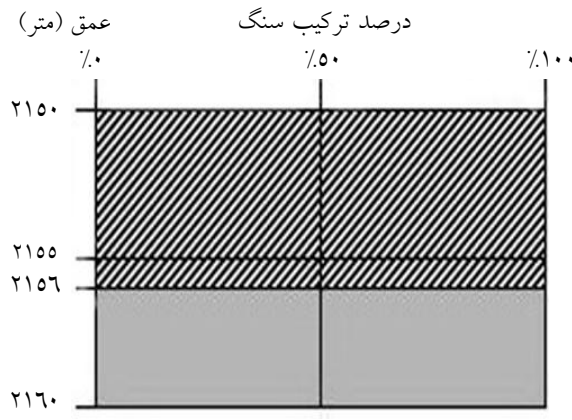
چگالی*	مرجع محاسبه	چاه	شكل	رنگ	نماد	سنگ
۲/۴۸۸	چگالی اندازه‌گیری شده در عمق ۲۲۴۰ متری	۵۶	۳		RML	مارن قرمز
۲/۵۱۷	چگالی اندازه‌گیری شده در عمق ۲۲۴۰ متری	۴۸	۴			
۲/۴۶۰	میانگین چگالی اندازه‌گیری شده از عمق ۲۲۵۵ تا ۲۲۶۰ متری	۴۷	۵			
۲/۷۶۵	چگالی اندازه‌گیری شده در عمق ۲۱۶۵ متری	۵۶	۶		GML	مارن خاکستری
۲/۵۳۱	چگالی اندازه‌گیری شده در عمق ۲۲۳۵ متری	۴۸	۷			
۲/۵۷۶	چگالی اندازه‌گیری شده در عمق ۲۲۸۹ متری	۴۷	۸			
۲/۱۲۵	چگالی اندازه‌گیری شده در عمق ۲۲۲۰ متری	۵۶	۹		SST	ماسه سنگ
۲/۳۱۸	میانگین چگالی اندازه‌گیری شده از عمق ۲۲۶۰ تا ۲۲۹۰ متری	۴۸	۱۰			
۲/۲۰۱	میانگین چگالی اندازه‌گیری شده از عمق ۲۱۹۵ تا ۲۲۰۵ متری	۴۷	۱۱			
۲/۹۳۰	چگالی اندازه‌گیری شده در عمق ۲۱۷۲/۵ متری	۵۶	۱۲		/AN GYPS	انیدریت / ژیپس
۲/۹۱۳	سازند در عمق ۲۱۷۷/۵ متری چاه ۴۸ از ۶۰٪ انیدریت و ژیپس به همراه ۴۰٪ مارن خاکستری تشکیل شده و چگالی آن ۲/۷۶۰ است. با جایگزینی عدد ۲/۵۳۱ به عنوان چگالی مارن، چگالی انیدریت محاسبه شده است.	۴۸	۱۳			
۲/۷۸۳	سازند در عمق ۲۱۵۵ متری چاه ۴۷ از ۷۰٪ انیدریت و ژیپس به همراه ۳۰٪ مارن خاکستری تشکیل شده و چگالی آن ۲/۷۲۱ است. با جایگزینی عدد ۲/۵۷۶ به عنوان چگالی مارن، چگالی انیدریت محاسبه شده است.	۴۷	۱۴			
۲/۰۹۳	میانگین چگالی اندازه‌گیری شده از عمق ۲۱۸۰ تا ۲۲۰۰ متری	۵۶	۱۵		LST	سنگ آهک
۲/۶۰۴	میانگین چگالی اندازه‌گیری شده از عمق ۲۱۹۵ تا ۲۱۹۰ متری	۴۸	۱۶			
۲/۵۷۶	میانگین چگالی اندازه‌گیری شده از عمق ۲۱۸۵ تا ۲۱۷۰ متری	۴۷	۱۷			
۲/۳۰۴	میانگین چگالی اندازه‌گیری شده از عمق ۲۲۰۵ تا ۲۲۰۰ متری	۵۶	۱۸		QZSST	ماسه سنگ کوارتزیتی
-	این نوع از سنگ در محدوده چاه وجود ندارد.	۴۸	-			
-	این نوع از سنگ در محدوده چاه وجود ندارد.	۴۷	-			
۱/۸۲۵	سازند در عمق ۲۲۲۵ متری چاه ۵۶ از ۶۰٪ ماسه سنگ کوارتزیتی و ۴۰٪ شیل تشکیل شده و چگالی آن ۲/۱۱۲ است. با جایگزینی عدد ۲/۳۰۴ به عنوان چگالی ماسه سنگ، چگالی شیل محاسبه شده است.	۵۶	۱۹		SH	شیل
-	این نوع از سنگ در محدوده چاه وجود ندارد.	۴۸	-			
-	این نوع از سنگ در محدوده چاه وجود ندارد.	۴۷	-			
۲/۱۸۹	چگالی اندازه‌گیری شده در عمق ۲۱۵۶ متری	۵۶	۲۰		SALT	نمک
	* واحد چگالی محاسبه شده گرم بر سانتی متر مکعب است.					



قطعه مورد استفاده از لاغ گرافیکی چاه به منظور تخمین چگالی سازند [۷] (ادامه دارد)



قطعه مورد استفاده از لایگ گرافیکی چاه به منظور تخمین چگالی سازند [۷] (ادامه دارد)



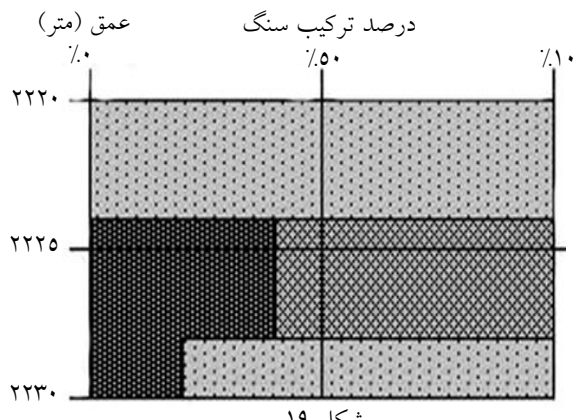
[۷] مقطع مورد استفاده از لاغ گرافیکی چاه به منظور تخمین چگالی سازند

و تنش ناشی از وزن این فواصل محاسبه گردیده است. شکل ۲۱ نحوه تغییرات تنش قائم در این بخش را نشان می‌دهد.

محاسبه تنش قائم در بخش دوم چاههای ۴۸، ۴۷ و ۵۶ با توجه به توضیحات ارائه شده در داده‌های مورد بررسی، چگالی متوسط وزن دار در فواصل ۵۰ متری در لاغ‌های گرافیکی چاه و تنش قائم حاصل از آنها محاسبه گردیده و در نهایت تنش کل ناشی از بخش دوم به دست آمده است. جدول‌های ۴، ۵ و ۶ به ترتیب نشان دهنده ترکیب سنگ‌ها، چگالی متوسط و تنش قائم در چاههای ۴۷ و ۵۶ هستند.

محاسبه تنش قائم در بخش سوم چاههای ۴۷، ۴۸ و ۵۶ با توجه به توضیحات قبلی، این بخش در کلیه چاههای مورد مطالعه در سازند آغازجاري قرار دارد و چگالی متوسط در این بخش با توجه به محاسبات انجام گرفته، معادل  $۲/۴۵۷ \text{ gr/cm}^3$  است. در نتیجه تنش قائم حاصل از این بخش با استفاده از رابطه ۷ محاسبه می‌شود:

$$\sigma_{V3} = \rho_{Aghajari} * g * h_{Zone3} \quad (7)$$



#### محاسبه چگالی متوسط و تنش قائم در چاههای مورد مطالعه

محاسبه چگالی متوسط و تنش قائم در چاه شماره ۱ چگالی تخصیص داده شده به انواع مختلف سنگ‌ها در این چاه با توجه به نزدیک بودن آن به چاه شماره ۴۷، از بخش دارای لاغ چگالی این چاه استخراج گردید. جدول ۳، درصد موجود از هر نوع سنگ که از تقسیم سطح مربوطه به سطح کل در فواصل عمقی مشخص شده در لاغ گرافیکی چاه شماره ۱ به دست آمده را به همراه چگالی متوسط هر محدوده و تنش قائم نشان می‌دهد. چگالی متوسط سازند آغازجاري با توجه به داده‌های چاه تا عمق ۱۳۱۰ متری محاسبه گردیده است. با توجه به مقادیر محاسبه شده، مقدار تنش قائم در عمق نهایی این چاه  $۳۷/۹۲ \text{ MPa}$  به دست آمد. همچنین چگالی متوسط سازند آغازجاري نیز برابر با  $۲/۴۵۶ \text{ gr/cm}^3$  محاسبه شده است.

#### محاسبه چگالی متوسط و تنش قائم در سایر چاهها

همان گونه که گفته شد، چاههای شماره ۴۷، ۴۸ و ۵۶ این میدان از نظر کمیت و کیفیت اطلاعات مربوط به چگالی به سه بخش تقسیم گردید و تنش قائم چاه در عمق نهایی آن برابر با جمع تنش در این سه بخش در نظر گرفته شد.

#### محاسبه تنش قائم در بخش اول چاههای ۴۷، ۴۸ و ۵۶

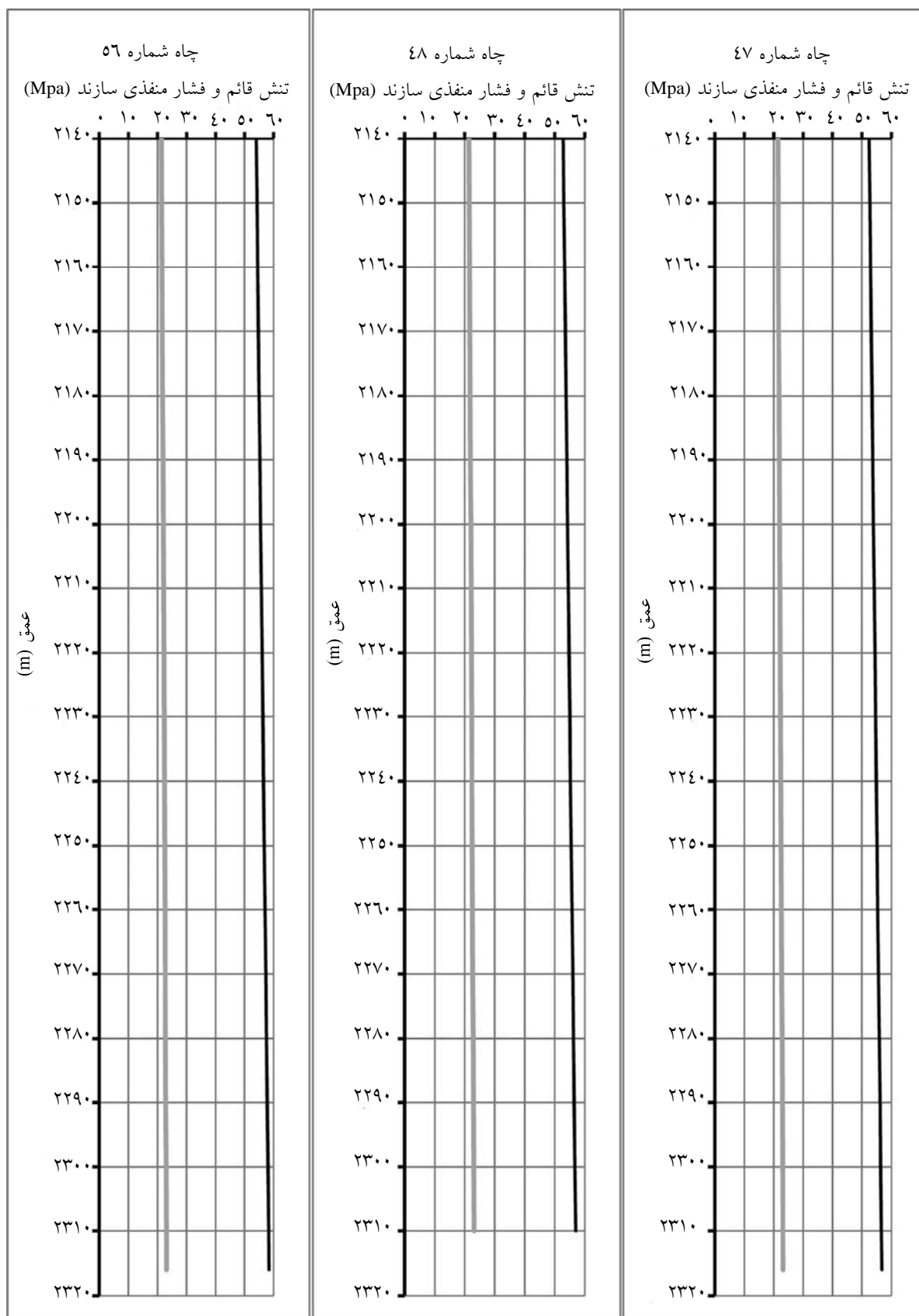
در این بخش از اطلاعات مربوط به لاغ چگالی به منظور تخمین مقدار تنش استفاده شد. در لاغ مربوطه اندازه‌گیری مقدار چگالی سازند در فواصل ۱۰ سانتی‌متری انجام گرفته است. برای تعیین مقدار تنش قائم ناشی از این بخش، مقدار چگالی اندازه‌گیری شده در هر افق، به نصف فاصله آن تا افق بعدی تعمیم داده شد. بدین ترتیب فواصلی ۱۰ سانتی‌متری با چگالی مشخص به دست آمده

بحث و تفسیر نتایج

با توجه به مقادیر محاسبه شده در بخش‌های اول، دوم و سوم، تنش قائم کل مطابق جدول ۷ به دست آمده است. با در نظر گرفتن عمق نهایی چاه طبق جدول ۱، گرادیان تنش قائم در چاههای مورد مطالعه به شرح جدول ۸ محاسبه گردیده است. گرادیان تنش و فشار منفذی در زون دارای هیدروکربن چاههای مورد مطالعه بر حسب عمق در شکل ۲۱ رسم شده است.

**جدول ۳- درصد انواع مختلف سنگ‌های سازنده، چگالی متوسط و تنش قائم در چاه شماره ۱**

تنش قائم (MPa)	$\rho$ (gr/cm <sup>3</sup> )	۲/۵۷۶	۲/۷۸۳	۲/۲۰۱	۲/۵۷۶	۲/۴۶۰	چگالی مرجع (gr/cm <sup>3</sup> )		
							جمع کل	ضخامت (متر)	عمق (متر)
		LST	AN/GYPS	SST	GML	RML		تا	از
۰/۲۴۱	۲/۴۶۰	۰	۰	۰	۰	۱۰۰	۱۰۰	۱۰	۱۰
۱/۲۱۷	۲/۴۸۱	۰	۵/۸۷	۱/۲۷	۴/۷۳	۸۸/۱۳	۱۰۰	۵۰	۶۰
۱/۲۱۷	۲/۴۸۱	۰	۵/۸۷	۱/۲۷	۴/۷۳	۸۸/۱۳	۱۰۰	۵۰	۱۱۰
۱/۲۱۷	۲/۴۸۱	۰	۵/۸۷	۱/۲۷	۴/۷۳	۸۸/۱۳	۱۰۰	۵۰	۱۱۰
۱/۲۰۷	۲/۴۶۰	۰	۰	۰	۰	۱۰۰	۱۰۰	۵۰	۲۱۰
۱/۲۰۸	۲/۴۶۲	۰	۰	۰	۱/۶۷	۹۸/۳۳	۱۰۰	۵۰	۲۶۰
۱/۲۱۰	۲/۴۶۶	۰	۰/۳۳	۰	۴/۵۳	۹۵/۱۳	۱۰۰	۵۰	۳۱۰
۱/۲۰۷	۲/۴۶۰	۰	۰	۰	۰	۱۰۰	۱۰۰	۵۰	۳۶۰
۱/۲۱۳	۲/۴۷۲	۰	۰/۳۳	۰	۹/۸۷	۸۹/۸۰	۱۰۰	۵۰	۴۱۰
۱/۲۱۷	۲/۴۸۱	۰	۴/۲۰	۰	۷/۳۳	۸۹/۴۷	۱۰۰	۵۰	۴۶۰
۱/۲۰۷	۲/۴۶۰	۰	۰	۰	۰	۱۰۰	۱۰۰	۵۰	۴۶۰
۱/۲۰۴	۲/۴۰۵	۰	۰	۱/۸۰	۰	۹۸/۲۰	۱۰۰	۵۰	۵۱۰
۱/۱۹۸	۲/۴۴۲	۰	۰	۹/۲۷	۵/۰۷	۸۵/۷۷	۱۰۰	۵۰	۶۱۰
۱/۲۱۰	۲/۴۶۷	۰	۳/۶۷	۷/۶۷	۱۰/۷۳	۷۸/۹۳	۱۰۰	۵۰	۶۶۰
۱/۱۹۹	۲/۴۴۴	۰	۰	۸/۴۰	۴/۹۳	۸۶/۷۷	۱۰۰	۵۰	۷۱۰
۱/۱۹۰	۲/۴۲۷	۰	۰	۱۴/۱۳	۳/۰۷	۸۲/۸۰	۱۰۰	۵۰	۷۶۰
۱/۱۸۰	۲/۴۰۶	۰	۰	۲۳/۹۳	۷/۶۷	۶۹/۴۰	۱۰۰	۵۰	۸۱۰
۱/۲۰۱	۲/۴۴۹	۰	۰	۷/۱/۴۷	۷/۹۳	۵۸/۶۰	۱۰۰	۵۰	۸۶۰
۱/۱۹۹	۲/۴۴۴	۰	۰	۷/۱/۰۷	۲/۱۳	۹۰/۸۰	۱۰۰	۵۰	۹۱۰
۱/۲۰۷	۲/۴۵۸	۰	۰	۴/۲۰	۷/۳۳	۸۸/۴۷	۱۰۰	۵۰	۹۶۰
۱/۲۰۱	۲/۴۴۹	۰	۰	۴/۸۰	۱/۲۰	۹۴	۱۰۰	۵۰	۱۰۱۰
۱/۲۰۰	۲/۴۵۷	۰	۰	۲/۲۰	۲/۰۷	۹۵/۷۳	۱۰۰	۵۰	۱۰۷۰
۱/۱۹۹	۲/۴۴۴	۰	۰	۷	۱/۷۳	۹۱/۲۷	۱۰۰	۵۰	۱۱۱۰
۱/۱۹۳	۲/۴۳۳	۰	۰	۱۰/۴۷	۰	۸۹/۰۳	۱۰۰	۵۰	۱۱۶۰
۱/۲۰۱	۲/۴۴۹	۰	۰	۴/۲۷	۰	۹۵/۷۳	۱۰۰	۵۰	۱۲۱۰
۱/۲۰۰	۲/۴۵۶	۰	۰	۳	۳/۰۷	۹۳/۹۳	۱۰۰	۵۰	۱۲۶۰
۱/۱۱۰	۲/۴۴۶	۱/۲۰	۰	۷/۶۰	۳/۷۳	۸۷/۴۷	۱۰۰	۵۰	۱۳۱۰
۱/۲۲۳	۲/۴۹۳	۰/۱۳	۰	۷/۱۳	۴۱/۸۷	۵۱/۸۷	۱۰۰	۵۰	۱۳۶۰
۱/۲۲۸	۲/۵۰۰	۲	۰/۳۳	۸/۸۰	۵۵/۰۷	۳۳/۸۰	۱۰۰	۵۰	۱۴۱۰
۱/۲۲۹	۲/۵۲۶	۶/۲۳	۳/۴۷	۲/۸۷	۴۷/۶۰	۳۹/۷۳	۱۰۰	۵۰	۱۴۶۰
۱/۲۵۶	۲/۵۶۰	۱۷/۳۳	۳/۷۳	۰	۵۸/۲۷	۲۰/۷۷	۱۰۰	۵۰	۱۵۱۰
۱/۲۹۶	۲/۶۴۳	۹/۲۰	۳۲/۵۳	۰	۵۷/۸۰	۰/۴۷	۱۰۰	۵۰	۱۵۶۰
۰/۱۲۹	۲/۶۲۵	۰	۳۰/۳۳	۰	۴۴	۲۰/۷۷	۱۰۰	۰	۱۰۷۰
۳۷/۹۲۱									



شکل ۲۱- نحوه تغییر تنش قائم و فشار منفذی در زون دارای هیدروکربن در چاههای مورد مطالعه بر حسب عمق

جدول ۴- درصد انواع مختلف سنگ‌های سازنده، چگالی متوسط و تنش قائم در بخش دوم چاه شماره ۴۷

تنش قائم (MPa)	$\rho$ (gr/cm <sup>3</sup> )	چگالی مرجع (gr/cm <sup>3</sup> )						جمع کل	ضخامت (متر)	عمق (متر)	
		۲/۱۸۹	۲/۵۷۶	۲/۷۸۳	۲/۲۰۱	۲/۵۷۶	۲/۴۶۰			تا	از
		SALT	LST	AN/GYPS	SST	GML	RML				
۰/۹۶۱	۲/۴۴۸	۰	۰	۰	۵/۸۳	۲/۵۰	۹۱/۷۷	۱۰۰	۴۰	۱۲۰۰	۱۱۶۰
۱/۲۱۴	۲/۴۷۵	۰	۰	۴/۰۳	۱/۲۰	۲/۷۳	۹۱/۰۳	۱۰۰	۵۰	۱۲۵۰	۱۲۰۰
۱/۲۰۳	۲/۴۵۲	۰	۰	۰	۵/۴۷	۵	۸۹/۰۳	۱۰۰	۵۰	۱۳۰۰	۱۲۵۰
۱/۲۳۳	۲/۵۱۴	۰	۱۴/۲۰	۰	۰	۳۲/۲۰	۵۳/۶۰	۱۰۰	۵۰	۱۳۵۰	۱۳۰۰
۱/۲۳۸	۲/۵۲۴	۰	۲/۰۷	۰	۰	۵۲/۹۳	۴۵	۱۰۰	۵۰	۱۴۰۰	۱۳۵۰
۱/۲۶۶	۲/۵۸۰	۰	۲/۶۰	۷/۸۰	۰	۵۹/۱۳	۸/۴۷	۱۰۰	۵۰	۱۴۵۰	۱۴۰۰
۱/۲۸۴	۲/۶۱۷	۰	۲۷/۳۳	۲۱/۷۷	۰	۴۷/۵۳	۳/۴۷	۱۰۰	۵۰	۱۰۰۰	۱۴۰۰
۱/۳۰۰	۲/۶۴۹	۰	۴/۲۳	۴۴/۰۷	۰	۳۷/۲۰	۱۵/۴۰	۱۰۰	۵۰	۱۰۰۰	۱۰۰۰
۱/۳۰۶	۲/۶۶۲	۰	۰	۴۶/۸۷	۰	۴۳/۸۰	۹/۳۳	۱۰۰	۵۰	۱۶۰۰	۱۰۰۰
۱/۲۸۰	۲/۶۰۸	۰	۰/۸۷	۲۹/۷۷	۰	۴۴/۳۳	۲۵/۱۳	۱۰۰	۵۰	۱۶۰۰	۱۷۰۰
۱/۲۲۰	۲/۶۹۱	۰	۰	۵۷/۸۰	۰	۳۸	۴/۲۰	۱۰۰	۵۰	۱۷۰۰	۱۶۰۰
۱/۳۱۳	۲/۶۷۷	۰	۵/۸۰	۵۱/۹۳	۰	۳۷/۷۳	۵/۵۳	۱۰۰	۵۰	۱۷۵۰	۱۷۰۰
۱/۲۹۵	۲/۶۴۰	۰	۱۶	۳۲/۶۰	۰	۴۸/۷۳	۲/۶۷	۱۰۰	۵۰	۱۸۰۰	۱۷۰۰
۱/۲۹۲	۲/۶۳۴	۴	۳/۸۰	۳۵/۴۷	۰	۵۶/۷۳	۰	۱۰۰	۵۰	۱۸۵۰	۱۸۰۰
۱/۱۶۳	۲/۳۷۲	۶۰/۲۷	۱/۳۳	۱۴/۱۳	۰	۲۴/۲۷	۰	۱۰۰	۵۰	۱۹۰۰	۱۸۰۰
۱/۲۶۴	۲/۵۷۶۳	۱۴/۹۳	۰	۳۰/۲۰	۰	۵۱/۰۷	۳/۸۰	۱۰۰	۵۰	۱۹۵۰	۱۹۰۰
۱/۲۵۰	۲/۵۴۹	۱۹/۸۰	۰	۲۵/۱۳	۰	۵۲/۹۳	۲/۱۳	۱۰۰	۵۰	۲۰۰۰	۱۹۵۰
۱/۲۷۰	۲/۵۸۸	۱۶/۳۳	۲/۴۷	۳۶/۵۳	۰	۴۴/۶۷	۰	۱۰۰	۵۰	۲۰۵۰	۲۰۰۰
۱/۲۵۷	۲/۵۶۲	۱۸/۲۰	۱/۶۷	۲۷/۱۳	۰	۵۳	۰	۱۰۰	۵۰	۲۱۰۰	۲۰۵۰
۱/۰۵۲	۲/۴۶۰	۴۳/۴۲	۲/۴۳	۲۵/۱۰	۰	۲۹/۰۵	۰	۱۰۰	۴۳/۶	۲۱۴۳/۶	۲۱۰۰
۲۴/۷۵۷								جمع کل			

جدول ۵- درصد انواع مختلف سنگ‌های سازنده، چگالی متوسط و تنش قائم در بخش دوم چاه شماره ۴۸

$\sigma_v$ (MPa)	$\rho$ (gr/cm <sup>3</sup> )							چگالی مرجع (gr/cm <sup>3</sup> )			
								جمع کل	ضخامت (متر)	عمق (متر)	
		SALT	LST	AN/GYPS	SST	GML	RML			تا	از
۱/۱۱۵	۲/۰۲۵	•	•	۲/۲۲	۰/۴۴	•	۹۷/۳۳	۱۰۰	۴۰	۱۰۴۵	۱۰۰۰
۱/۲۲۸	۲/۰۰۴	•	•	•	۷/۶۷	•	۹۳/۳۳	۱۰۰	۵۰	۱۰۹۰	۱۰۴۰
۱/۲۳۴	۲/۰۱۵	•	•	۰/۸۷	۳/۰۷	۷/۶۰	۸۸/۴۷	۱۰۰	۵۰	۱۱۴۰	۱۰۹۰
۱/۲۲۸	۲/۰۰۳	•	•	•	۷	•	۹۳	۱۰۰	۵۰	۱۱۹۰	۱۱۴۰
۱/۲۳۳	۲/۰۱۴	•	•	۰/۲۰	۲/۱۳	۰/۴۰	۹۷/۲۷	۱۰۰	۵۰	۱۲۴۵	۱۱۹۰
۱/۲۳۵	۲/۰۱۸	•	۱/۲۰	۰/۲۰	۱/۶۰	۱۶/۵۳	۸۰/۴۷	۱۰۰	۵۰	۱۲۹۵	۱۲۴۵
۱/۲۳۷	۲/۰۰۲	•	۳	•	۱/۸۰	۴۲/۲۰	۵۳	۱۰۰	۵۰	۱۳۴۵	۱۲۹۰
۱/۲۴۷	۲/۰۴۳	•	۰/۳۳	۳/۶۷	•	۴۹/۷۳	۴۱/۲۷	۱۰۰	۵۰	۱۳۹۵	۱۳۴۰
۱/۲۵۶	۲/۰۶۱	•	۱۴/۷۷	۵/۶۰	•	۷۳/۰۷	۱۶/۶۷	۱۰۰	۵۰	۱۴۴۵	۱۳۹۰
۱/۲۷۲	۲/۰۹۴	•	۳۴/۹۳	۹/۸۰	•	۵۵/۲۷	•	۱۰۰	۵۰	۱۴۹۰	۱۴۴۰
۱/۳۰۹	۲/۶۶۸	•	۴	۳۵/۶۰	•	۴۸/۰۳	۱۱/۸۷	۱۰۰	۵۰	۱۵۴۵	۱۴۹۰
۱/۳۳۳	۲/۷۱۷	•	۱/۱۳	۴۹	•	۳۸/۲۰	۱۱/۶۷	۱۰۰	۵۰	۱۰۹۰	۱۰۴۵
۱/۳۱۶	۲/۷۸۳	•	•	۴۰/۸۰	•	۳۰/۰۳	۲۸/۶۷	۱۰۰	۵۰	۱۶۴۵	۱۰۹۰
۱/۳۱۶	۲/۷۸۴	•	•	۴۰/۳۳	•	۵۱/۲۰	۸/۴۷	۱۰۰	۵۰	۱۶۹۵	۱۶۴۵
۱/۳۱۱	۲/۷۷۳	•	۷/۲۰	۳۶/۴۷	•	۴۴/۸۷	۱۲/۴۷	۱۰۰	۵۰	۱۷۴۵	۱۶۹۰
۱/۳۱۵	۲/۷۸۲	•	۱۶/۹۳	۳۶/۲۷	•	۴۴/۱۳	۲/۶۷	۱۰۰	۵۰	۱۷۹۵	۱۷۴۵
۱/۳۲۴	۲/۷۹۹	•	۷/۶۰	۴۲/۴۷	•	۴۹/۹۳	•	۱۰۰	۵۰	۱۸۴۵	۱۷۹۰
۱/۲۳۱	۲/۰۱۰	۳۴	•	۲۵	•	۴۱	•	۱۰۰	۵۰	۱۸۹۵	۱۸۴۵
۱/۲۴۸	۲/۰۴۵	۲۸/۳۳	•	۲۹	•	۴۱/۶۷	۱	۱۰۰	۵۰	۱۹۴۵	۱۸۹۰
۱/۲۵۱	۲/۰۰۱	۲۸/۰۷	۱/۲۷	۳۰/۱۳	•	۴۰/۰۳	•	۱۰۰	۵۰	۱۹۹۵	۱۹۴۵
۱/۲۸۸	۲/۶۲۵	۱۸	۵	۳۹/۸۷	•	۳۷/۱۳	•	۱۰۰	۵۰	۲۰۴۵	۱۹۹۵
۱/۲۹۲	۲/۶۳۵	۱۴/۷۳	۷/۸۷	۳۸/۹۳	•	۳۸/۴۷	•	۱۰۰	۵۰	۲۰۹۵	۲۰۴۰
۱/۲۲۳	۲/۴۹۳	۴۰/۸۰	۰/۴۰	۲۶/۴۰	•	۳۲/۴۰	•	۱۰۰	۵۰	۲۱۴۵	۲۰۹۰
۰/۴۰۹	۲/۳۴۱	۷۹/۶۷	•	۱۲/۶۷	•	۱۷/۶۷	•	۱۰۰	۲۰	۲۱۶۵	۲۱۴۵
۲۹/۰۰۲	جمع کل										

# پژوهش نفت

• شماره ۷۰

جدول ۶- درصد انواع مختلف سنگ‌های سازنده، چگالی متوسط و تنش قائم در بخش دوم چاه شماره ۵۶

$\sigma_v$ (MPa)	$\rho$ (g/cm <sup>3</sup> )							چگالی مرجع (gr/cm <sup>3</sup> )		
								جمع کل	ضخامت (متر)	عمق (متر)
		SALT	LST	AN/GYPS	SST	GML	RML			
۱/۰۸۳	۲/۴۵۲	.	.	.	۹/۷۸	.	۹۰/۲۲	۱۰۰	۴۵	۱۱۴۵
۱/۲۱۹	۲/۴۸۵	.	.	.	۳	۲	۹۵	۱۰۰	۵۰	۱۱۹۰
۱/۲۱۷	۲/۴۸۱	.	.	.	۵/۱۰	۳	۹۱/۹۰	۱۰۰	۵۰	۱۲۴۵
۱/۲۵۶	۲/۵۶۰	.	.	۰/۴۰	.	۱۸/۴۰	۸۱/۲۰	۱۰۰	۵۰	۱۲۹۰
۱/۳۲۱	۲/۶۹۳	.	۹/۶۰	۰/۶۰	۳/۲۰	۵۳/۶۰	۳۳	۱۰۰	۵۰	۱۳۴۵
۱/۲۹۳	۲/۶۳۷	.	۴/۴۰	۱/۳۰	.	۳۶/۴۰	۵۷/۹۰	۱۰۰	۵۰	۱۳۹۵
۱/۳۵۴	۲/۷۶۱	.	۲۶	۲/۸۰	.	۶۱/۴۰	۹/۸۰	۱۰۰	۵۰	۱۴۴۵
۱/۳۶۴	۲/۷۸۰	.	۳۱/۸۰	۱۱/۲۰	.	۵۵	۲	۱۰۰	۵۰	۱۴۹۵
۱/۳۸۵	۲/۸۲۳	.	۳	۶۰	.	۱۷/۶۰	۱۹/۴۰	۱۰۰	۵۰	۱۵۴۵
۱/۳۹۸	۲/۸۵۰	.	۰	۵۱/۴۰	.	۳۵/۴۰	۱۳/۲۰	۱۰۰	۵۰	۱۵۹۵
۱/۳۹۴	۲/۸۴۲	.	۰	۵۰/۸۰	.	۳۴	۱۵/۲۰	۱۰۰	۵۰	۱۶۴۵
۱/۴۱۱	۲/۸۷۶	.	۰	۶۲	.	۳۰	۸	۱۰۰	۵۰	۱۶۹۵
۱/۴۱۱	۲/۸۷۶	.	۲	۳۴	.	۶۲	۲	۱۰۰	۵۰	۱۷۴۵
۱/۴۰۲	۲/۸۵۹	.	۴	۳۴	.	۵۷	۵	۱۰۰	۵۰	۱۷۹۵
۱/۴۱۹	۲/۸۹۴	.	۲	۵۰	.	۴۸	۰	۱۰۰	۵۰	۱۸۴۵
۱/۲۹۴	۲/۶۳۸	۳۶	۰	۲۲	.	۴۲	۰	۱۰۰	۵۰	۱۸۹۵
۱/۳۲۰	۲/۶۹۱	۲۷	۰	۱۲/۸۰	.	۶۰	۰	۱۰۰	۵۰	۱۹۴۵
۱/۳۴۲	۲/۷۳۵	۱۶	۰	۲۲	.	۵۲	۱۰	۱۰۰	۵۰	۱۹۹۵
۱/۳۵۲	۲/۷۵۷	۲۰	۰	۳۹/۲۰	.	۴۰/۸۰	۰	۱۰۰	۵۰	۲۰۴۵
۱/۳۷۰	۲/۷۹۴	۱۳/۲۰	۳/۸۰	۴۱	.	۴۲	۰	۱۰۰	۵۰	۲۰۹۵
۱/۳۱۷	۲/۶۸۴	۲۹/۶۰	۱	۳۲	.	۳۷/۴۰	۰	۱۰۰	۵۰	۲۱۴۵
۰/۲۳۶	۲/۱۸۹	۱۰۰	۰	۰	.	۰	۰	۱۰۰	۱۱	۲۱۵۶
۲۸/۱۰۶						جمع کل				

جدول ۷- تنش قائم کل در عمق نهایی چاه‌های مورد مطالعه

شماره چاه				شرح پارامترها
۵۶	۴۸	۴۷	۱	
۳/۸۱۶	۳/۴۰۶	۴/۰۳۸	-	تنش قائم در بخش اول (MPa)
۲۸/۱۵۶	۲۹/۵۰۲	۲۴/۷۵۷	۳۷/۹۲۱	تنش قائم در بخش دوم (MPa)
۲۶/۴۹۴	۲۴/۰۸۶	۲۷/۹۳۹	-	تنش قائم در بخش سوم (MPa)
۵۸/۴۶۶	۵۶/۹۹۳	۵۶/۷۳۴	۳۷/۹۲۱	تنش قائم کل (MPa)

جدول ۸- گرادیان تنش قائم در چاههای مورد مطالعه

شماره چاه				شرح پارامترها
۵۶	۴۸	۴۷	۱	
۲۳۱۶	۲۳۱۰	۲۳۱۶	۱۵۶۵	عمق نهایی چاه (m)
۰/۰۲۵۲	۰/۰۲۴۷	۰/۰۲۴۵	۰/۰۲۴۲	گرادیان تنش قائم (MPa/m)

محاسبه گردید که هدف اصلی آن ارائه راهکاری به منظور تخمین تنش‌های اصلی در شرایطی است که اطلاعات کافی در دست نیست. مقدار متوسط گرادیان تنش قائم متوسط در چاههای مورد مطالعه معادل  $۰/۰۲۴۶ \text{ MPa/m}$  به دست آمد که می‌تواند در تحقیقات آتی در این میدان ملاک عمل قرار گیرد. با توجه به پراکندگی چاهها در محدوده میدان، گرادیان تنش محاسبه شده در چاهها تفاوت کمی با هم دارند که نشان می‌دهد مقدار متوسط آن می‌تواند با دقت مطلوبی به کل میدان تعیین یابد.

### علام و نشانه‌ها

$\rho(z)$ : چگالی به عنوان تابعی از عمق (gr/cm<sup>3</sup>)

$g$ : شتاب جاذبه زمین (m/s<sup>2</sup>)

$\rho_{ave}$ : چگالی متوسط روپاره در برآورد تنش قائم (gr/cm<sup>3</sup>)

$D$ : عمق واقعی چاه (m)

$K$ : نسبت میان تنش‌های اصلی قائم و افقی در جا (-)

$\sigma_h$  و  $\sigma_{Horizontal}$ : مولفه افقی تنش‌های در جا (MPa)

$\sigma_v$  و  $\sigma_{Vertical}$ : تنش اصلی قائم (MPa)

$P_p$ : فشار منفذی سازند (MPa)

$v$ : ضریب پوآسون سنگ (-)

$\alpha$ : ضریب بایوت سازند (-)

$S_{rect}$ : مولفه تکتونیکی تنش افقی (MPa)

$\rho_{Aghajari}$ : چگالی متوسط سازند آغازاری در میدان نفتی

منصوری (gr/cm<sup>3</sup>)

$h_{Zone3}$ : ضخامت بخش سوم در چاههای مورد مطالعه (m)

$h$ : عمق مورد نظر (m)

مقادیر ارائه شده در جدول ۱ نشان می‌دهد که حداقل مقدار گرادیان تنش قائم، مربوط به چاه شماره ۵۶ و حداقل آن مربوط به چاه شماره ۱ بوده و متوسط مقدار گرادیان تنش قائم به دست آمده از چاههای مورد بررسی معادل  $۰/۰۲۴۶ \text{ MPa/m}$  است که می‌تواند به عنوان مرجعی برای محاسبه تنش قائم در این میدان در اطلاعات آتی مورد استفاده قرار گیرد. با در نظر گرفتن شبیه فشار هیدرواستاتیک معادل فشار آب، برابر با  $۱۰ \text{ kPa}$  به ازای هر متر و ضریب بایوت<sup>۱</sup> معادل یک برای کل میدان، تنش افقی ایزوتروپ با استفاده از رابطه ۵، به صورت رابطه ۸ بر حسب مگاپاسکال به دست می‌آید.

$$\sigma_h = \left( \frac{0.0146v}{1-v} + 0.01 \right) h \quad (8)$$

تجزیه و تحلیل اطلاعات حاصل از لاغ LFDT و تست‌های مکانیک سنگی بر روی کربنات و ماسه‌سنگ در چاههای مورد مطالعه نشان داد که مقادیر ضریب بایوت و ضریب پوآسون در این سنگ‌ها به ترتیب برابر  $۰/۹۱۸$  و  $۰/۱۴$  برای کربنات و  $۰/۸۱۴$  و  $۰/۱۸$  برای ماسه‌سنگ می‌باشد. با قراردادن این مقادیر در رابطه ۵، معادلات شماره ۹ و ۱۰ به ترتیب برای تخمین تنش افقی ایزوتروپیک در زون‌های کربناته و ماسه‌سنگی به صورت زیر پیشنهاد می‌گردد:

$$\sigma_h = 0.0114 h \quad (9)$$

$$\sigma_h = 0.0118 h \quad (10)$$

### نتیجه‌گیری

با توجه به عدم انجام مطالعات جامع مکانیک سنگی و در دسترس نبودن اطلاعات مربوط به تست‌های شکستگی در اکثر چاههای نفتی، برآورد تنش‌های در جا که در فرآیند تحلیل پایداری چاه به عنوان اصلی ترین عامل مطرح است، در اغلب موارد به سختی انجام می‌گیرد. در این مقاله با استفاده از اطلاعات مربوط به لاغ‌های گرافیکی و پتروفیزیکی، گرادیان تنش قائم  $۴$  حلقه از چاههای میدان منصوری

1. Biot's Coefficient

2. Low Frequency Dipole Tool

## مراجع

- [1] Sanaee R., Shadizadeh S. R. and Riahi M. A., “*Determination of the stress profile in a deep borehole in a naturally fractured reservoir*”, International Journal of Rock Mechanics & Mining Sciences, vol. 47, pp. 599-605, 2010.
- [2] Song and Haimson B. C., “*Polyaxial strength criteria and their use in estimating in-situ stress magnitudes from borehole breakout dimensions*”, Proc. 36th U.S. Rock Mech. Symp., Int. J., of Rock Mech. Min. Sci. 34:3-4, paper no.116, 1997.
- [3] Bell J. S., “*Practical methods for estimating in situ stresses for borehole stability applications in sedimentary basins*”. Journal of petroleum science and engineering, vol. 38, pp.111-119, 2003.
- [4] Yaghoubi A. A. and Zeinali M.,“*Determination of magnitude and orientation of the in-situ stress from borehole breakout and effect of pore pressure on borehole stability – Case study in cheshmeh khush oil field of Iran*”. Journal of petroleum science and engineering, vol. 67, pp.116-126, 2009.
- [5] Zoback M. D., Barton C. A., Brudy M., Castillo D. A., Moos D. B., Peska P., Ward C. D. and et al. “*Determination of stress orientation and magnitude in deep wells*”, International Journal of Rock Mechanics and Mining Sciences, vol. 40, pp. 1049-1076, 2003.
- ۶- شرکت مهندسی و توسعه نفت ایران، شرکت مهندسی نفت کیش، گزارش مطالعات زمین شناسی در میدان نفتی منصوری، ۱۳۸۴.
- ۷- شرکت مهندسی و توسعه نفت ایران، لاغهای گرافیکی و پتروفیزیکی چاههای شماره ۴۷، ۵۶ و ۴۸ میدان نفتی منصوری.